

## **CENTER ZA ELEKTRONSKO MIKROSKOPIJO IN MIKROANALIZO (CEMM)**

Center za elektronsko mikroskopijo in mikroanalizo (CEMM) je instrumentalni center IJS, ki združuje analitsko opremo s področja elektronske mikroskopije in mikroanalize. Dostop do raziskovalne opreme Centra imajo, poleg vseh odsekov IJS, tudi druge raziskovalne institucije, univerze in industrijski partnerji. Opremo Centra uporabljajo raziskovalci, ki jih zanima strukturalna in kemijska karakterizacija materialov na mikrometrskem in atomarnem nivoju. V okviru Centra delujeta dva vrstična elektronska mikroskopa (SEM) JSM-5800 in JSM-7600F, dva presevna elektronska mikroskopa (TEM) JEM-2100 (CO NiN) in JEM-2010F, ter oprema za pripravo SEM in TEM vzorcev. Center odličnosti NAMASTE je k opremi za elektronsko mikroskopijo prispeval CCD kamero in detektor temne kontrastne slike (ADF) za mikroskop JEM-2010F, ter sistem za uklon povratno-sipanih elektronov (EBSD) na JSM-7600F. Poleg opisane opreme je IJS solastnik mikroskopa JEM-ARM200F (20%), s Cs korektorjem za atomarno ločljivost, lociranega na Kemijskem institutu. Center pomaga tudi pri zagotavljanju delovanja FIB-a, Helios Nanolab 650 s fokusiranim izvorom ionov (FIB), ki je v lasti CO Nanocentra.

Proti koncu leta je bil na IJS dostavljen nov vrhunski visokoločljivostni vrstični elektronski mikroskop Verios G4 HP (Thermo Fisher Scientific), ki bo instaliran in operativen v začetku leta 2020. Mikroskop je edini te vrste v tem delu Evrope in omogoča ekstremno visoko ločljivost pri nizkih vzbujevalnih napetostih. Poleg EDXS detektorja je mikroskop opremljen z najsodobnejšim detektorjem za presevno mikroskopijo (STEM).

Raziskave, v katere so vključeni osebje Centra in operaterji IJS, se razlikujejo glede preiskovanih materialov, kot tudi glede uporabljenih metod elektronske mikroskopije.

- Vrstična elektronska mikroskopija se uporablja za opazovanje morfologije in strukture površin, kot tudi za preiskave mikrostruktur in določevanje kemijske sestave. V okviru CEMM se prvenstveno preiskujejo keramični materiali (polikristalinični oksidi), razni nanostrukturni materiali, kovine in zlitine, stekla, itd. Oba vrstična elektronska mikroskopa v centru sta opremljena z energijsko-disperzijskimi (EDXS) in/ali z valovno-disperzijskimi spektrometri (WDXS) rentgenskih žarkov, ki omogočajo nedestruktivno določevanje kemijske sestave preiskovanih materialov. Vrstični elektronski mikroskop JSM-7600F je opremljen tudi s sistemom za detekcijo povratno-sipanih elektronov (EBSD) in z elektronsko litografijo.
- Presevna elektronska mikroskopija nudi celovit vpogled v strukturo preiskovanega materiala v nanometrskem merilu (atomarni nivo). Omogoča strukturne in kemijske preiskave mej med zrni in študijo raznih vključkov, določitev planarnih napak in dislokacij v materialih. Presevni elektronski mikroskop JEM-2100 je opremljen z energijsko-disperzijskim spektrometrom (EDXS) in CCD kamero, medtem ko je mikroskop JEM-2010F tudi vrstični presevni elektronski mikroskop (STEM), dodatno opremljen s CCD kamero, EDXS spektrometrom in spektroskopijo izgub energije elektronov (EELS). Na presevnih elektronskih mikroskopih je možno izvajati tudi *in-situ* poizkuse (segrevanje in hlajenje vzorcev, opazovanje reakcij v tekočinah in zasledovanje elektrokemijskih reakcij, kar vse omogočajo posebne izvedbe nosilcev za vzorce).
- Center upravlja še z nujno potrebno opremo za izdelavo in pripravo SEM in TEM vzorcev.

Za delovanje Centra skrbi ustrezno usposobljeno osebje. Med dejavnosti Centra spada izvajanje storitev za zunanje naročnike, uvajanje novih analitskih tehnik elektronske mikroskopije, izobraževanje novih operaterjev na opremi CEMM (Slika 1), organiziranje strokovnih delavnic in srečanj na temo elektronske mikroskopije. Center nadalje izvaja akcije za popularizacijo področja elektronske mikroskopije v okviru obiskov, ki jih organizira IJS, ter preko objav v klasičnih in digitalnih medijih (Slika 2).

Za uporabnike mikroskopov je Center v letu 2019 organiziral 8. in 9. delavnico. Predstavljena je bila SEM priprava vzorcev in vrstična elektronska mikroskopija z mikroanalizo – EDXS. Namen delavnic je bila predstavitev delovanja vrstičnih elektronskih mikroskopov ter njihova pravilna uporaba.



Slika 1. Uspodbjanje novih operaterjev na opremi JSM-7600F.



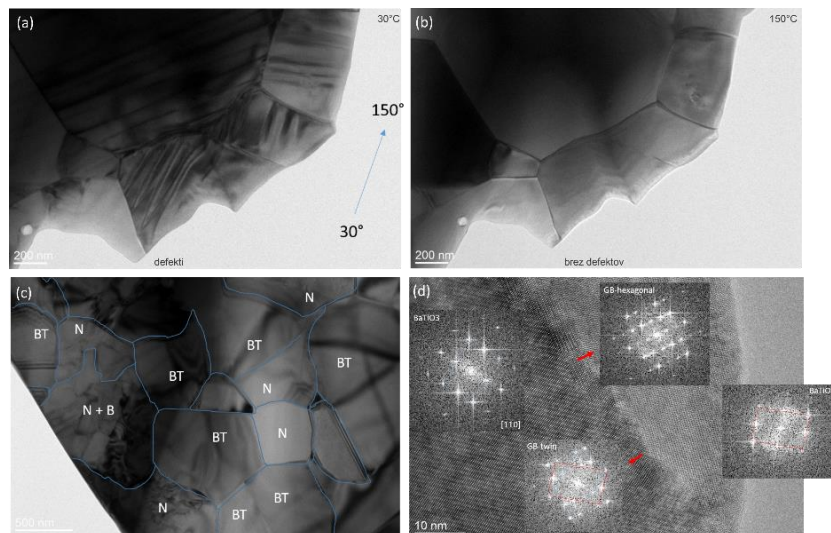
Slika 2. Priprava in izvajanje poizkusov za obiskovalce IJS.

### Primeri mikrostrukturnih in nanostrukturnih analiz opravljenih na opremi CEMM

Primere uporabe različnih tehnik elektronske mikroskopije pri strukturni in kemijski karakterizaciji materialov, ki so zajeti v poročilu, je prispeval kader CEMM-a, kot tudi operaterji odsekov IJS.

#### 1. Segrevalni poizkus v TEM

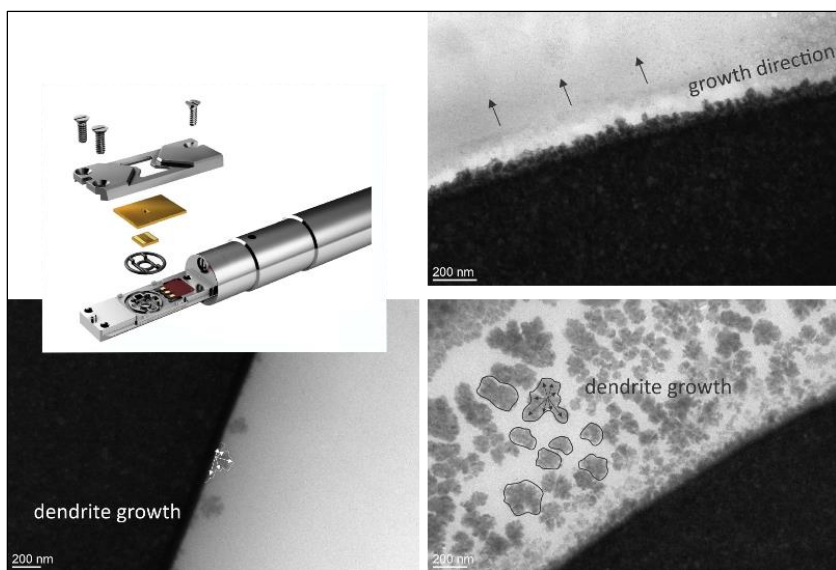
V presevnem elektronskem mikroskopu je bila opravljena študija segrevanja BaTiO<sub>3</sub> z dodatkom kovinskega Ni. Poizkus je potekal v območju transformacije BaTiO<sub>3</sub> v temperaturnem območju od 25°C do 150°C. Z analizami je bila opravljena, poleg študije transformacije BaTiO<sub>3</sub> iz tetragonalne faze v kubično fazo, še analiza napak (dvojčkov) v BaTiO<sub>3</sub> in študija kontakta s kovinskim Ni, prikazana na sliki 3 (Zajc I., K8; Drev S., CEMM).



Slika 3. Analiza kontakta BaTiO<sub>3</sub> in kovinskega Ni. (a,b) Segrevalni poizkus v območju transformacije. (c) Označeni kontakti med zrni (d) SAED študija zrn in kontaktov (Zajc I., K8, Drev S., CEMM, JEM 2100).

## 2. Elektrokemijski *in-situ* poizkus v TEM

V presevnem elektronskem mikroskopu je bila opravljena študija elektrokemijskega nanosa kovinskega Ni iz raztopine na Pt delovni elektrodi ob spremenjanju potenciala med delovno elektrodo in katodo (Slika 4). (Koblar M., Drev S., CEMM)

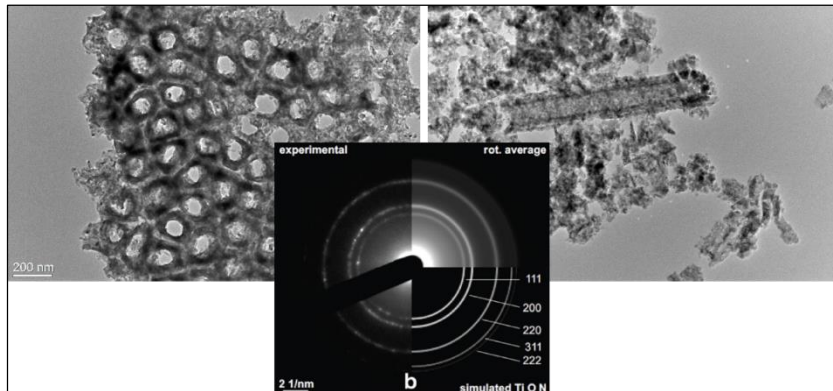


Slika 4. (a) Liquid cell v TEM. (b,c,d) Postopna rast Ni iz raztopine in na Pt delovni elektrodi (Koblar M., Drev S., CEMM, JEM 2100).

### 3. Struktura titanovega oksinitrida

TEM analiza anatasnih nanocevk sintranih v atmosferi  $\text{NH}_3$  je potrdila pretvorbo anatasa v titanov oksinitrid (Slika 5).

Vir: Suhadolnik. L.; Jurković. L. D.; Likozar. B; Bele. M.; Drev. S.; Čeh. M. Structured titanium oxynitride ( $\text{TiO}_x\text{N}_y$ ) nanotube arrays for a continuous electrocatalytic phenol-degradation process: Synthesis, characterisation, mechanisms and the chemical reaction micro-kinetics. *Applied Catalysis B: Environmental*, 2019, 257, 117894-117904

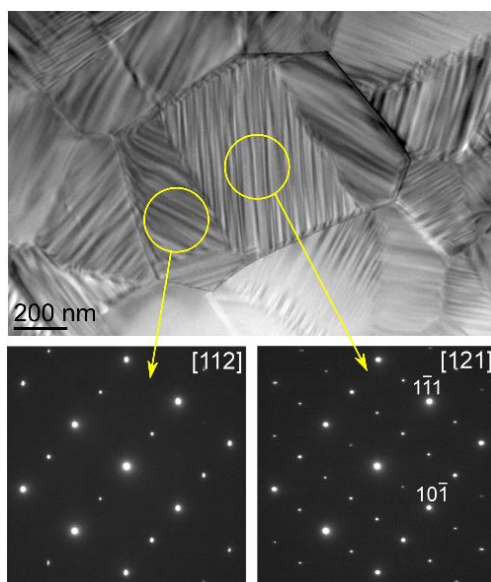


Slika 5. TEM posnetek v svetlem polju (BF) vzorca Ti-O-N s pripadajočo SAED sliko, ki potrjuje transformacijo  $\text{TiO}_2$  anatasa v Ti-O-N fazo. (Drev S., CEMM, JEM 2010F).

### 4. Feroelastične domene v perovskitni keramiki

TEM analiza prikazuje feroelastične domene v  $\text{Na}(\text{Nb}_{0.2}\text{Ta}_{0.8})\text{O}_3$  perovskitni keramiki, kristalizirani v Pcmn ortorombski simetriji. Superstruktturni ukloni v difrakcijah razkrivajo rotacije kisikovih oktaedrov v strukturi materiala (Slika 6).

Vir: Bian. J.J.; Otoničar. M.; Spreitzer. M.; Vengust. D.; Suvorov. D. Structural evolution, dielectric and energy storage properties of  $\text{Na}(\text{Nb}_{1-x}\text{Ta}_x)\text{O}_3$  ceramics prepared by spark plasma sintering. *Journal of the European Ceramic Society*, 2007, 39, 2339-2347



Slika 6. Analiza feroelektrične domene v  $\text{Na}(\text{Nb}_{0.2}\text{Ta}_{0.8})\text{O}_3$  perovskitni keramiki (Otoničar M., K5, JEM 2100).

## 5. $(Nd,Na)(SO_4)_2 \times H_2O$ kristali

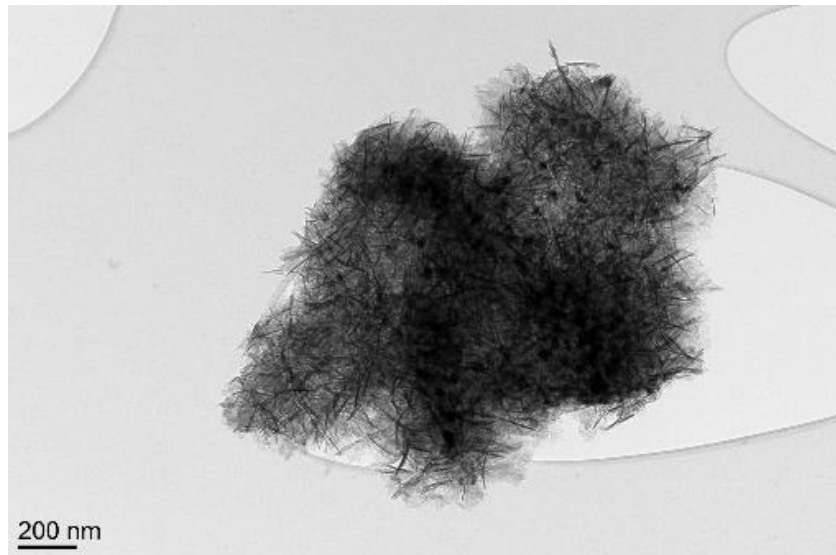
Analiza in študija rasti in morfoloških značilnosti kristalov  $(Nd,Na)(SO_4)_2 \times H_2O$  je bila opravljena na vrstičnem elektronskem mikroskopu (Slika 7).



Slika 7. Kristali  $(Nd,Na)(SO_4)_2 \times H_2O$ . (Xu. X., Samardžija Z., K7, JSM 7600F).

## 6. Magnetni vzorci na osnovi $Al_2O_3/Ru$

Na presevnem elektronskem mikroskopu je bila opravljena analiza magnetnih delcev. Gre za delce aluminijevega oksida, ki so oplaščeni z Ru nanodelci (Slika 8).

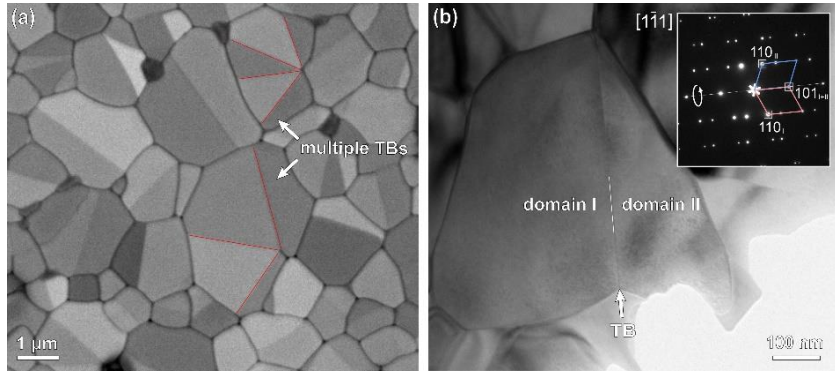


Slika 8. TEM slika aluminijevega oksida oplaščenega z Ru nanodelci. (Gyergyek S., K8, JEM 2100).

## 7. SnO<sub>2</sub> keramika

Analiza termično jedkane polirane keramike SnO<sub>2</sub> dopirane s CoO in Nb<sub>2</sub>O<sub>5</sub> je pokazala nastanek številnih dvojčkov v zrnih SnO<sub>2</sub> v (101) ravninah (Slika 9).

Vir: Tominc, S.; Rečnik, A.; Samardžija, Z.; Dražić, G.; Podlogar, M.; Bernik, S.; Daneu, N. Twinning and charge compensation in Nb<sub>2</sub>O<sub>5</sub>-doped SnO<sub>2</sub>-CoO ceramics exhibiting promising varistor characteristics. Ceramics international, 2018, 44, 1603-1613

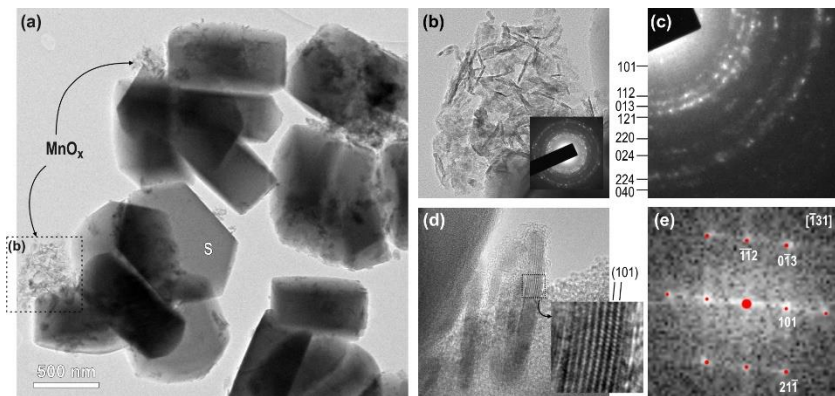


Slika 9. (a) Posnetek termično jedkane površine keramike na osnovi SnO<sub>2</sub> dopirane s CoO in Nb<sub>2</sub>O<sub>5</sub> prikazuje nastanek številnih dvojčkov v zrnih SnO<sub>2</sub>. Razlika v sivinah posameznih domen je posledica različne orientacije SnO<sub>2</sub>. (b) TEM analiza dvojčkov je pokazala, da ležijo v (101) ravninah (Tominc S., K7, Rečnik A., K7, Daneu N., K9, JSM 7600F, JEM 2100).

## 8. Mn-oksidni nanodelci

Visoko resolucijska slika delca kristalita je pokazala orientacijo vzdolž [131] cone (Slika 10).

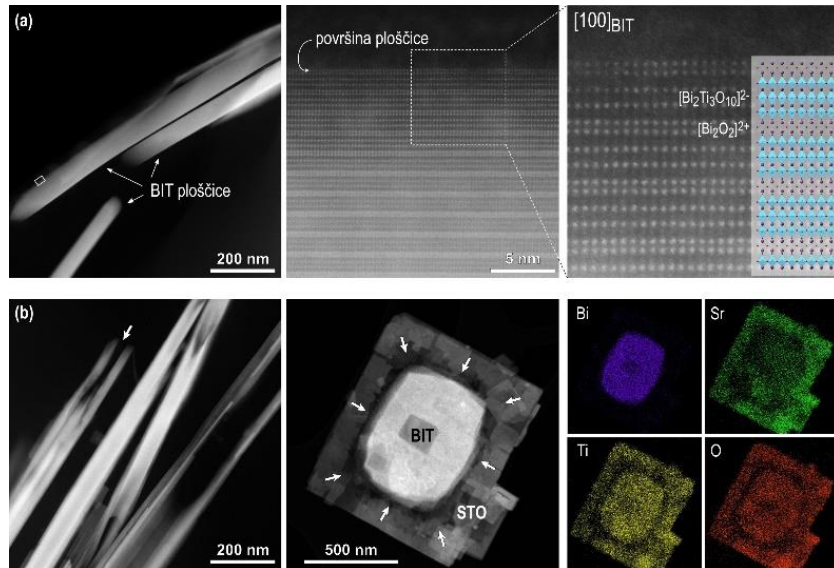
Vir: Ristić, A.; Mazaj, M.; Arčon, I.; Daneu, N.; Zabukovec, L. N.; Gläser, R.; Novak, T. N. New insights into manganese local environment in MnS-I nanocrystals. Crystal Growth and Design, 2019, 19, 3130-3138



Slika 10. (a) Mn-oksidni nanodelci na zeolitnem silikalitu-1 (S-1) z MFI strukturo. (b,c) SAED analiza je pokazala, da so nanodelci hausmanit (Mn<sub>3</sub>O<sub>4</sub>). (d) HRTEM slika in (e) indeksiran FFT vzorec kristalita, ki je orientiran vzdolž [-131] cone (Daneu N., K9, JEM 2100).

## 9. Transformacija $\text{Bi}_4\text{Ti}_3\text{O}_{12}$

V sklopu projekta, kjer poteka študija mehanizma transformacije  $\text{Bi}_4\text{Ti}_3\text{O}_{12}$  nanodelcev v  $\text{SrTiO}_3$  nanoploščicah (M.ERA-NET 3184 HarvEnPiez; vodja dr. Marjeta Maček Kržmanc) je bila opravljena analiza mehanizma topokemijske transformacije  $\text{Bi}_4\text{Ti}_3\text{O}_{12}$  (BIT) v  $\text{SrTiO}_3$  (STO) pod hidrotermalnimi pogoji. Analiza prikazuje BIT ploščice terminirane z  $\text{Bi}_2\text{O}_2^{2+}$  plastjo, kjer gre za pretvorbo od roba proti notranjosti ploščic (Slika 11).



Slika 11. TEM analiza mehanizma topokemijske transformacije  $\text{Bi}_4\text{Ti}_3\text{O}_{12}$  (BIT) v  $\text{SrTiO}_3$  (STO). (a) Začetne BIT ploščice so terminirane z  $\text{Bi}_2\text{O}_2^{2+}$  plastjo. (b) Analiza deno pretvorjenih BIT ploščic je pokazala, da pretvorba poteka od roba proti notranjosti ploščic. (Daneu N., K9, ARM 200F).

## ZAPOSLENI

### Raziskovalec

1. Prof. Miran Čeh, vodja

### Podoktorski sodelavci

2. Dr. Sandra Drev
3. Dr. Jitka Hreščak

### Mlajši raziskovalci

4. Andreja Šestan Zavašnik

### Strokovna sodelavka

5. Maja Koblar, univ. dipl. fiz.